

- годы механики сплошной среды. Т. 3. Новосибирск, изд. ВЦ СО АН СССР, 1970, № 1.
3. Седов Л. И. Введение в механику сплошной среды, М., Физматгиз, 1962.
 4. Уилкинс М. Л. Расчет упругопластических течений. — В кн.: Вычислительные методы в гидродинамике. М., «Мир», 1967.
 5. Butkovich T. R. Calculation of the shock wave from an underground nuclear explosion in granite. — *J. Geophys. Res.*, 1965, vol. 70, p. 885—892.
 6. Родионов В. Н., Адушкин В. В., Костюченко В. Н., Николаевский В. Н., Ромашов А. Н., Цветков В. М. Механический эффект подземного взрыва. М., «Недра», 1971.

УДК 539.373

НАПРЯЖЕННЫЙ СЛОЙ, СКРЕПЛЕННЫЙ С ПОЛУПЛОСКОСТЯМИ

И. Н. Сергеев-Альбов

(Новосибирск)

1. В работе [1] показано, что при соударении пластин в режиме сварки взрывом за точкой контакта вдоль линии сварки образуется напряженный слой, подвергнутый сжимающим напряжениям. Была выдвинута гипотеза, что наличие напряженного слоя — причина волнообразования, которое имеет место при некоторых режимах соударения. В экспериментах по сварке взрывом установлено, что волнообразование происходит не в момент соударения, а некоторое время спустя, т. е. для начала процесса волнообразования необходимо начальное возмущение [2]. Такое возмущение может давать волна разрежения, приходящая от свободной поверхности метаемой пластины.

В данной работе исследуется вопрос о возможности волнообразного излома напряженного слоя $S = \{x, y | -\infty < x < +\infty, -h \leq y \leq h\}$ при условии, что этот слой сжат напряжениями, близкими к пределу текучести материала, но не превосходящими его. Случай, когда слой находится в пластическом состоянии, изучался в [1]. Пусть напряженный слой волнообразно изогнулся под воздействием малого возмущения. Так как рассматривается слой, сжатый напряжениями, близкими к пределу текучести материала, то естественно предположить, что в вершинах изгиба образуются пластические шарниры. В дальнейшем весь напряженный слой рассматривается как «стержневая система», соединенная посредством шарниров. Будем предполагать, что стержни абсолютно упругие и что вся «стержневая система» может выйти из состояния прямолинейного равновесия под воздействием малого возмущения. В слое S действуют сжимающие напряжения [1]

$$\sigma_{11}^0 = -k (k > 0),$$

где

$$(1.1) \quad k = \frac{4}{3\pi\tau_s} \rho_0 H U \sin(\gamma/2) \left(\frac{c_0^2 - 2b_0^2}{c_0^2 - b_0^2} \right);$$

c_0, b_0 — продольная и поперечная скорости звука в материале; ρ_0 — плотность материала; U — скорость точки контакта; γ — угол соударения;

H — высота пластины; τ_s — характерное время релаксации касательных напряжений в зоне пластических деформаций, расположенной в окрестности точки контакта.

В результате выхода стержневой системы из прямолинейного состояния равновесия в вершинах излома будет действовать вертикально направленная сила $f =$

$= 2kh \sin \beta$, где β — угол, образующийся между стержнями. Препятствовать излому стержневой системы будут основания соударяющихся пластин. Высота напряженного слоя [1] мала по сравнению с высотой пластин, и поэтому будем считать, что стержневая система скреплена с полуплоскостями $P_1 = \{x, y | -\infty < x < \infty, -\infty \leq y < -h\}$, $P_2 = \{x, y | -\infty < x < \infty, h < y < \infty\}$. Напряженный слой («стержневая система») выйдет из состояния прямолинейного равновесия под воздействием малого возмущения, если сила реакции $2P$, возникающая из-за изгиба оснований двух полуплоскостей, будет меньше силы f , которая возникает в вершинах излома «стержневой системы» (фиг. 1).

2. Пусть напряженное состояние в плоскости (x, y) описывается системой уравнений нелинейной теории упругости (эти уравнения являются одной из форм записи уравнений работы [3])

$$\begin{aligned} \rho \bar{d}u/dt - \partial \sigma_{11}/\partial x - \partial \sigma_{12}/\partial y &= 0, \\ \rho \bar{d}v/dt - \partial \sigma_{12}/\partial x - \partial \sigma_{22}/\partial y &= 0, \\ \frac{d \ln k_1}{dt} - \cos^2 \varphi \frac{\partial \bar{u}}{\partial x} - \sin \varphi \cos \varphi \left(\frac{\partial \bar{u}}{\partial y} + \frac{\partial \bar{v}}{\partial x} \right) - \sin^2 \varphi \frac{\partial \bar{v}}{\partial y} &= 0, \\ \frac{d \ln k_2}{dt} - \sin^2 \varphi \frac{\partial \bar{u}}{\partial x} + \sin \varphi \cos \varphi \left(\frac{\partial \bar{u}}{\partial y} + \frac{\partial \bar{v}}{\partial x} \right) - \cos^2 \varphi \frac{\partial \bar{v}}{\partial y} &= 0, \\ (2.1) \quad \frac{d \ln k_3}{dt} &= 0, \\ 2(k_1^2 - k_2^2) \frac{d\varphi}{dt} + (k_1^2 - k_2^2) \left(\frac{\partial \bar{u}}{\partial y} - \frac{\partial \bar{v}}{\partial x} \right) - \\ - (k_1^2 + k_2^2) \left[\cos 2\varphi \left(\frac{\partial \bar{u}}{\partial y} + \frac{\partial \bar{v}}{\partial x} \right) - \sin 2\varphi \left(\frac{\partial \bar{u}}{\partial x} - \frac{\partial \bar{v}}{\partial y} \right) \right] &= 0, \\ \frac{d}{dt} \equiv \frac{\partial}{\partial t} + \bar{u} \frac{\partial}{\partial x} + \bar{v} \frac{\partial}{\partial y}, \end{aligned}$$

где σ_{11} , σ_{22} , σ_{12} — компоненты тензора напряжений; \bar{u} , \bar{v} — компоненты вектора скорости перемещений точек среды; k_1 , k_2 , k_3 — коэффициенты растяжения (сжатия) точек среды; φ — угол поворота системы координат относительно главных осей; ρ — плотность среды.

Уравнение состояния среды будем задавать следующим образом:

$$(2.2) \quad E(k_1, k_2, k_3) = K_0 (\delta^n - 1)^2 / (2n^2) + 2b_0^2 \delta^m D,$$

где c_0 , b_0 — продольная и поперечная скорости звука в среде; $K_0 = c_0^2 - \frac{4}{3} b_0^2$; n , m — константы уравнения состояния;

$$\delta = 1/(k_1 k_2 k_3); \quad D = (d_1^2 + d_2^2 + d_3^2)/2,$$

$$d_i = \ln \left(k_i / \sqrt[3]{k_1 k_2 k_3} \right) \quad (i = 1, 2, 3).$$

Компоненты тензора напряжений σ_{11} , σ_{22} , σ_{12} через главные напряжения σ_1 , σ_2 и угол φ определяются по формулам

$$\begin{aligned} \sigma_{11} &= \sigma_1 \cos^2 \varphi + \sigma_2 \sin^2 \varphi, \quad \sigma_{22} = \sigma_1 \sin^2 \varphi + \sigma_2 \cos^2 \varphi, \\ \sigma_{12} &= (\sigma_1 - \sigma_2) \sin \varphi \cos \varphi. \end{aligned}$$

Главные напряжения связаны с уравнением состояния формулами Мурнагана [3]

$$(2.3) \quad \sigma_i = \rho k_i E_i, \quad E_i = \partial E / \partial k_i \quad (i = 1, 2, 3).$$

Для конкретного уравнения состояния (2.2) формулы (2.3) приобретают вид

$$\sigma_i = -\rho_0 K_0 \delta^{n+1} (\delta^n - 1) / n - 2\rho_0 b_0^2 m \delta^{m+1} D + 2\rho_0 b_0^2 \delta^{m+1} d_i \quad (i = 1, 2, 3),$$

где ρ_0 — плотность материала при нормальных условиях.

В начальный момент напряженное состояние в плоскости (x, y) задается в виде

$$(2.4) \quad \sigma_{11}^0 = \sigma_{33}^0 = -k, \quad \sigma_{12}^0 = 0, \quad \bar{u}^0 = \bar{v}^0 = 0, \quad \sigma_{22}^0 = 0 \quad \text{в слое } S,$$

$$(2.5) \quad \sigma_{11}^0 = \sigma_{33}^0 = \sigma_{22}^0 = \sigma_{12}^0 = 0, \quad \bar{u}^0 = \bar{v}^0 = 0 \quad \text{в полуплоскостях } P_1, P_2.$$

По заданным напряжениям можно восстановить коэффициенты растяжения (сжатия) среды k_1 , k_2 , k_3 . Так как $\sigma_{12}^0 = 0$, то $\varphi^0 = 0$. Из (2.5) следует, что в полуплоскостях P_1 и P_2 $k_1^0 = k_2^0 = k_3^0 = 1$.

Пусть начальное напряженное состояние плоскости (x, y) подвергнуто малому возмущению. Решение для возмущенного состояния системы (2.1) будем искать в виде

$$(2.6) \quad \begin{aligned} k_1 &= k_1^0 + \varepsilon \alpha(x, y), \quad k_2 = k_2^0 + \varepsilon \beta(x, y), \quad k_3 = k_3^0, \\ \varphi &= \varphi^0 + \varepsilon \varphi^1(x, y), \quad \bar{u} = \bar{u}^0 + \varepsilon u^1(x, y), \quad \bar{v} = \bar{v}^0 + \varepsilon v^1(x, y), \end{aligned}$$

где $\varepsilon \ll 1$.

Подставляя (2.6) в последние четыре уравнения (2.1) и оставляя в полученных соотношениях только члены первого порядка малости по ε , для функций α , β , φ^1 получим выражения

$$(2.7) \quad \alpha = k_1^0 \frac{\partial u}{\partial x}, \quad \beta = k_2^0 \frac{\partial v}{\partial y}, \quad \varphi^1 = \frac{k_2^{02}}{k_1^{02} - k_2^{02}} \frac{\partial u}{\partial y} + \frac{k_1^{02}}{k_1^{02} - k_2^{02}} \frac{\partial v}{\partial x},$$

где u , v — компоненты перемещений точек среды из начального состояния в возмущенное.

Воспользуемся соотношениями (2.7), формулами Мурнагана (2.3), представлением (2.6) и преобразуем первые два уравнения системы (2.1) к виду

$$k_1^{02} E_{11}^0 \frac{\partial^2 u}{\partial x^2} + k_1^0 k_2^0 \left(E_{12}^0 + \frac{k_2^0 E_1^0 - k_1^0 E_2^0}{k_1^{02} - k_2^{02}} \right) \frac{\partial^2 v}{\partial x \partial y} + k_2^{02} \frac{k_1^0 E_1^0 - k_2^0 E_2^0}{k_1^{02} - k_2^{02}} \frac{\partial^2 u}{\partial y^2} = 0,$$

(2.8)

$$k_1^{02} \frac{k_1^0 E_1^0 - k_2^0 E_2^0}{k_1^{02} - k_2^{02}} \frac{\partial^2 v}{\partial x^2} + k_1^0 k_2^0 \left(E_{12}^0 + \frac{k_2^0 E_1^0 - k_1^0 E_2^0}{k_1^{02} - k_2^{02}} \right) \frac{\partial^2 u}{\partial x \partial y} + k_2^{02} E_{22}^0 \frac{\partial^2 v}{\partial y^2} = 0,$$

где $\bar{E}_{ij} = \partial^2 E / \partial k_i \partial k_j$ ($i, j = 1, 2$), а верхний индекс нуль указывает на то, что величины отнесены к начальному состоянию.

Воспользуемся уравнением состояния (2.2) и вычислим коэффициенты системы (2.8)

$$\begin{aligned} k_1^2 E_{11} &= - \{ -K_0 \delta^n (\delta^n - 1) / n - 2b_0^2 m \delta^m D + 2b_0^2 \delta^m d_1 \} + \\ &+ \{ K_0 (2\delta^{2n} - \delta^n) + 2b_0^2 m^2 \delta^m D - 4mb_0^2 \delta^m d_1 + 4b_0^2 \delta^m / 3 \}, \\ k_1 k_2 \left(E_{12} + \frac{k_2 E_1 - k_1 E_2}{k_1^2 - k_2^2} \right) &= K_0 (2\delta^{2n} - \delta^n) + 2b_0^2 m^2 \delta^m D - 2b_0^2 m \delta^m (d_1 + d_2) - \\ &- 2b_0^2 \delta^m / 3 + K_0 \delta^n (\delta^n - 1) / n + 2b_0^2 \delta^m m D + 2b_0^2 \delta^m \frac{k_2^2 d_1 - k_1^2 d_2}{k_1^2 - k_2^2}, \end{aligned}$$

$$(2.9) \quad \frac{k_1 E_1 - k_2 E_2}{k_1^2 - k_2^2} = \frac{2b_0^2 \delta^m (\ln k_1 - \ln k_2)}{k_1^2 - k_2^2},$$

$$k_2^2 E_{22} = - \{ -K_0 \delta^n (\delta^n - 1) / n - 2b_0^2 m \delta^m D + 2b_0^2 \delta^m d_2 \} +$$

$$+ \{ K_0 (2\delta^{2n} - \delta^n) + 2b_0^2 m^2 \delta^m D - 4b_0^2 m \delta^m d_2 + 4b_0^2 \delta^m / 3 \}.$$

Уравнения (2.8) для слоя S с учетом того, что $E_2^0 = 0$, запишутся в виде

$$(2.10) \quad k_1^{02} E_{11}^0 \frac{\partial^2 u}{\partial x^2} + k_1^0 k_2^0 \left(E_{12}^0 + \frac{k_2^0 E_1^0}{k_1^{02} - k_2^{02}} \right) \frac{\partial^2 v}{\partial x \partial y} + k_2^{02} \frac{k_1^0 E_1^0}{k_1^{02} - k_2^{02}} \frac{\partial^2 u}{\partial y^2} = 0,$$

$$k_1^{02} \frac{k_1^0 E_1^0}{k_1^{02} - k_2^{02}} \frac{\partial^2 v}{\partial x^2} + k_1^0 k_2^0 \left(E_{12}^0 + \frac{k_2^0 E_1^0}{k_1^{02} - k_2^{02}} \right) \frac{\partial^2 u}{\partial x \partial y} + k_2^{02} E_{22}^0 \frac{\partial^2 v}{\partial y^2} = 0.$$

Коэффициенты системы (2.10) определяются по формулам (2.9) подстановкой в них k_1^0, k_2^0, k_3^0 , которые определяются по (2.4). В полуплоскостях P_1, P_2 $k_1^0 = k_2^0 = k_3^0 = 1$, поэтому система (2.8) в этом случае имеет вид

$$(2.11) \quad \frac{2(1-\sigma)}{1-2\sigma} \frac{\partial^2 u}{\partial x^2} + \frac{1}{1-2\sigma} \frac{\partial^2 v}{\partial x \partial y} + \frac{\partial^2 u}{\partial y^2} = 0,$$

$$\frac{\partial^2 v}{\partial x^2} + \frac{1}{1-2\sigma} \frac{\partial^2 u}{\partial x \partial y} + \frac{2(1-\sigma)}{1-2\sigma} \frac{\partial^2 v}{\partial y^2} = 0,$$

где σ — коэффициент Пуассона материала полуплоскости

$$\sigma = (3K_0 - 2b_0^2) / (2(3K_0 + b_0^2)).$$

Напряжения в этом случае будут определяться по перемещениям равенствами

$$\sigma_{11} = \frac{E}{(1+\sigma)(1-2\sigma)} \left[(1-\sigma) \frac{\partial u}{\partial x} + \sigma \frac{\partial v}{\partial y} \right],$$

$$\sigma_{12} = \frac{E}{2(1+\sigma)} \left[\frac{\partial u}{\partial y} + \frac{\partial v}{\partial x} \right],$$

$$\sigma_{22} = \frac{E}{(1+\sigma)(1-2\sigma)} \left[\sigma \frac{\partial u}{\partial x} + (1-\sigma) \frac{\partial v}{\partial y} \right],$$

где E — модуль Юнга материала полуплоскостей

$$E = 9\rho_0 K_0 b_0^2 / (3K_0 + b_0^2).$$

3. У системы уравнений (2.10), описывающей напряженное состояние в слое S , и у системы (2.11), описывающей возмущенное состояние в полуплоскостях P_1 и P_2 , будем искать решения вида

$$(3.1) \quad u(x, y) = iU(y)e^{i\omega x}, \quad v(x, y) = V(y)e^{i\omega x}.$$

Подстановка (3.1) в (2.11) дает систему обыкновенных дифференциальных уравнений

$$(3.2) \quad \begin{aligned} \frac{d^2 U}{dy^2} + \frac{\omega}{1-2\sigma} \frac{dV}{dy} - \omega^2 \frac{2(1-\sigma)}{1-2\sigma} U(y) &= 0, \\ \frac{2(1-\sigma)}{1-2\sigma} \frac{d^2 V}{dy^2} - \frac{\omega}{1-2\sigma} \frac{dU}{dy} - \omega^2 V(y) &= 0; \end{aligned}$$

Определим реакцию упругих полуплоскостей P_1 и P_2 на заданный изгиб их границ. Пусть выполнены следующие граничные условия: $\sigma_{12}(x, -h) = 0$, $v(x, -h) = B_0 e^{i\omega x}$, $\sigma_{12}(x, h) = 0$, $v(x, h) = A_0 e^{i\omega x}$. Для системы (3.2) граничные условия имеют вид

$$(3.3) \quad V(-h) = B_0, \quad \left[\frac{dU}{dy} + \omega V \right]_{y=-h} = 0;$$

$$(3.4) \quad V(h) = A_0, \quad \left[\frac{dU}{dy} + \omega V \right]_{y=h} = 0.$$

В полуплоскости P_1 решение системы (3.2), убывающее на бесконечности и принимающее при $y = -h$ заданные граничные условия (3.3), дается формулами

$$U(y) = \frac{B_0 e^{\omega(y+h)}}{2(1-\sigma)} [(2\sigma-1) - \omega(y+h)], \quad V(y) = \frac{B_0 e^{\omega(y+h)}}{2(1-\sigma)} [2(1-\sigma) - \omega(y+h)].$$

Соответственно в полуплоскости P_2 решение системы (3.2), убывающее на бесконечности и принимающее при $y = h$ заданные граничные условия (3.4), дается формулами

$$U(y) = -\frac{A_0 e^{\omega(h-y)}}{2(1-\sigma)} [2\sigma-1 + \omega(y-h)], \quad V(y) = \frac{A_0 e^{\omega(h-y)}}{2(1-\sigma)} [2-2\sigma + \omega(y-h)].$$

Тогда по полученным перемещениям восстанавливается σ_{22} — компонента тензора напряжений на границах полуплоскостей $y = -h$, $y = h$

$$(3.5) \quad \sigma_{22}(x, -h) = \frac{E\omega}{2(1-\sigma^2)} B_0 e^{i\omega x};$$

$$(3.6) \quad \sigma_{22}(x, h) = -\frac{E\omega}{2(1-\sigma^2)} A_0 e^{i\omega x}.$$

Теперь в слое S у системы уравнений (2.10) ищем решения, принимающие на границах $y = -h$ и $y = h$ заданные значения (3.5), (3.6) и

$\sigma_{12}(x, -h) = 0$, $\sigma_{12}(x, h) = 0$ и имеющие вид (3.1). Введем обозначения:

$$c_1 = c_2 = k_1^0 k_2^0 \left(E_{12}^0 + \frac{k_1^0 E_1^0}{k_1^{02} - k_2^{02}} \right); \quad c_3 = k_1^{02} \frac{k_1^0 E_1^0}{k_1^{02} - k_2^{02}};$$

$$c_4 = -k_1^{02} E_{11}^0; \quad c_5 = -k_2^{02} E_{22}^0; \quad c_6 = k_2^{02} \frac{k_1^0 E_1^0}{k_1^{02} - k_2^{02}}.$$

Подставив (3.1) в систему (2.10), получим систему обыкновенных дифференциальных уравнений

$$(3.7) \quad \begin{aligned} c_6 \frac{d^2 U}{dy^2} + c_1 \omega \frac{dV}{dy} + c_4 \omega^2 U &= 0, \\ c_5 \frac{d^2 V}{dy^2} + c_2 \omega \frac{dU}{dy} + c_3 \omega^2 V &= 0. \end{aligned}$$

Решение системы уравнений (3.7) запишем в виде

$$\begin{aligned} U(y) &= m_1 [a \cos \nu \omega y - b \sin \nu \omega y] e^{\mu \omega y} + m_2 \{ b \cos \nu \omega y + \\ &+ a \sin \nu \omega y \} e^{\mu \omega y} + m_3 [-a \cos \nu \omega y - b \sin \nu \omega y] e^{-\mu \omega y} + \\ &+ m_4 [-b \cos \nu \omega y + a \sin \nu \omega y] e^{-\mu \omega y}, \\ V(y) &= m_1 \cos \nu \omega y e^{\mu \omega y} + m_2 \sin \nu \omega y e^{\mu \omega y} + \\ &+ m_3 \cos \nu \omega y e^{-\mu \omega y} - m_4 \sin \nu \omega y e^{-\mu \omega y}, \end{aligned}$$

где

$$\begin{aligned} \mu &= \sqrt{-(c_3 c_6 + c_4 c_5 - c_1 c_2) / (4c_3 c_6) + \sqrt{c_3 c_4 / (c_5 c_6)} / 2}; \\ \nu &= \sqrt{(c_3 c_6 + c_4 c_5 - c_1 c_2) / (4c_3 c_6) + \sqrt{c_3 c_4 / (c_5 c_6)} / 2}; \\ a &= -c_5 \mu / c_1 - c_3 \mu / (c_1 (\mu^2 + \nu^2)); \quad b = -c_5 \nu / c_1 + c_1 \nu / (c_1 (\mu^2 + \nu^2)); \end{aligned}$$

m_1, m_2, m_3, m_4 — произвольные постоянные;

$$\begin{aligned} B_0 = V(-h) &= m_1 \cos \nu \omega h e^{-\mu \omega h} - m_2 \sin \nu \omega h e^{-\mu \omega h} + \\ &+ m_3 \cos \nu \omega h e^{\mu \omega h} + m_4 \sin \nu \omega h e^{\mu \omega h}; \\ A_0 = V(h) &= m_1 \cos \nu \omega h e^{\mu \omega h} + m_2 \sin \nu \omega h e^{\mu \omega h} + \\ &+ m_3 \cos \nu \omega h e^{-\mu \omega h} - m_4 \sin \nu \omega h e^{-\mu \omega h}. \end{aligned}$$

Условия на границе слоя S дают следующую алгебраическую систему уравнений относительно констант m_1, m_2, m_3, m_4 :

$$\begin{aligned} m_1 A_{11} + m_2 A_{12} + m_3 A_{13} + m_4 A_{14} &= 0, \quad m_1 A_{13} + m_2 A_{14} + m_3 A_{11} + \\ + m_4 A_{12} &= 0, \quad m_1 B_{11} + m_2 B_{12} + m_3 B_{13} + m_4 B_{14} &= 0, \quad m_1 B_{13} + m_2 B_{14} + \\ + m_3 B_{11} + m_4 B_{12} &= 0, \end{aligned}$$

где

$$\begin{aligned} A_{11} &= [(-a_{11} + R) \cos \nu \omega h + a_{12} \sin \nu \omega h] e^{\mu \omega h}; \\ A_{12} &= [-a_{12} \cos \nu \omega h + (-a_{11} + R) \sin \nu \omega h] e^{\mu \omega h}; \\ A_{13} &= [(a_{11} + R) \cos \nu \omega h + a_{12} \sin \nu \omega h] e^{-\mu \omega h}; \\ A_{14} &= [a_{12} \cos \nu \omega h - (a_{11} + R) \sin \nu \omega h] e^{-\mu \omega h}; \\ B_{11} &= (b_{11} \cos \nu \omega h - b_{12} \sin \nu \omega h) e^{\mu \omega h}; \quad B_{12} = (b_{12} \cos \nu \omega h + \end{aligned}$$

$$\begin{aligned}
& + b_{11} \sin \nu \omega h) e^{\mu \omega h}; \quad B_{13} = (b_{11} \cos \nu \omega h + b_{12} \sin \nu \omega h) e^{-\mu \omega h}; \\
& B_{14} = (b_{12} \cos \nu \omega h - b_{11} \sin \nu \omega h) e^{-\mu \omega h}; \\
& a_{11} = b_1 k_1^0 a - b_2 k_2^0 \mu; \quad a_{12} = b_1 k_1^0 b - b_2 k_2^0 \nu; \\
& b_1 = \rho^0 k_2^0 E_{12}; \quad b_2 = \rho^0 k_2^0 E_{22}^0; \\
& b_{11} = (\mu a - \nu b) \frac{k_2^{02}}{k_1^{02} - k_2^{02}} + \frac{k_1^{02}}{k_1^{02} - k_2^{02}}; \\
& b_{12} = \frac{k_2^{02}}{k_1^{02} - k_2^{02}} (\mu b + \nu a); \quad R = \frac{E}{2(1 - \sigma^2)}.
\end{aligned}$$

Линейная однородная система алгебраических уравнений имеет отличное от нуля решение, если определитель этой системы равен нулю, т. е.

$$\begin{aligned}
(3.8) \quad & \{[-2b_{12}R \cos 2\nu \omega h - 2(b_{11}a_{11} + a_{12}b_{12}) \sin 2\nu \omega h - b_{12}R(e^{-2\mu \omega h} + \\
& + e^{2\mu \omega h}) + (a_{12}b_{11} - a_{11}b_{12})(e^{-2\mu \omega h} - e^{2\mu \omega h})][-2b_{12}R \cos 2\nu \omega h - 2 \times \\
& \times (b_{11}a_{11} + a_{12}b_{12}) \sin 2\nu \omega h + b_{12}R(e^{-2\mu \omega h} + e^{2\mu \omega h}) - (a_{12}b_{11} - \\
& - a_{11}b_{12})(e^{-2\mu \omega h} - e^{2\mu \omega h})] = 0.
\end{aligned}$$

Корни уравнения (3.8) ищем численно. При тех значениях сжимающих напряжений в слое S , которые задаются формулой (1.4), корни (3.8) будут комплексными, вида $\omega = \theta + i\psi$. Если $\omega = \theta + i\psi$ — корень, то $\omega = \theta - i\psi$ также является корнем уравнения (3.8). Возьмем тот корень, который имеет меньшую положительную мнимую часть. Этот корень будет давать решение, наименее убывающее при $x \rightarrow \infty$ ($x > 0$). Например, для железа при сжатиях $\sigma_{11}^0 = -19$ кбар $\theta = 2,89$, $\psi = 0,826$. При этом длина λ наименее убывающей при $x \rightarrow \infty$ волны, по которой изогнется слой, определяется по формуле $\lambda = 2\pi/\theta$. Будем считать, что в результате такого изгиба слоя S в вершинах полуволн образуются пластические шарниры. В дальнейшем слой рассматривается как «стержневая система». Длина l «стержней» равна половине длины волн, т. е. $l = \pi/\theta$.

4. Вычислим силу реакции полуплоскости P_1 на излом ее границы (фиг. 1). Равновесие напряженного состояния в полуплоскости описывается системой уравнений (2.11). Вертикальное смещение границы полуплоскости P_1 зададим следующим образом:

$$(4.1) \quad v(x, -h) = \frac{4C}{\pi^2} \sum_{k=1}^{\infty} \frac{1}{(2k-1)^2} \cos[(2k-1)\theta x],$$

где C — амплитуда изгиба.

Будем искать решение (2.11), удовлетворяющее условию (4.1) и $\sigma_{12}(x, -h) = 0$, в виде

$$\begin{aligned}
(4.2) \quad u(x, y) &= \sum_{k=1}^{\infty} \frac{1}{(2k-1)^2} U_{2k-1}(y) \sin[(2k-1)\theta x], \\
v(x, y) &= \sum_{k=1}^{\infty} \frac{1}{(2k-1)^2} V_{k-1}(y) \cos[(2k-1)\theta x].
\end{aligned}$$

Тогда искомым решением будет решение вида (4.2), в котором

$$U_{2k-1}(y) = - \left[r_{2k-1} - \frac{4\sigma - 3}{(2k-1)\theta} d_{2k-1} + d_{2k-1}(y+h) \right] e^{(2k-1)\theta(y+h)},$$

$$V_{2k-1}(y) = [r_{2k-1} + d_{2k-1}(y+h)] e^{(2k-1)\theta(y+h)},$$

где

$$r_{2k-1} = \frac{4C}{\pi^2}; \quad d_{2k-1} = -\frac{4C(2k-1)\theta}{\pi^2 2(1-\sigma)}.$$

Сила P реакции полуплоскости P_1 на излом границы, сосредоточенная в вершине излома и имеющая вертикальное направление (см. фиг. 1), определится в виде

$$(4.3) \quad P = \int_{-l/2}^{l/2} \sigma_{22}(x, -h) dx = \\ = \frac{4C}{\pi^2} \frac{E}{(1-\sigma^2)} \sum_{k=1}^{\infty} \frac{(-1)^{k+1}}{(2k-1)^2} - \frac{4C}{\pi^2} \frac{E}{(1-\sigma^2)} G,$$

где постоянная Каталана $G=0,915965594\dots$

Реакция двух полуплоскостей на изгиб оснований будет равна $2P$. Естественно предположить, что имеются зоны пластических деформаций, расположенные в полуплоскостях в окрестностях излома их границ. В связи с этим в (4.3) величину $E/(1-\sigma^2)$ заменим на $\tilde{E}/(1-\tilde{\sigma}^2) = E_0$ — характерный модуль в зоне пластических деформаций. Для железа $\rho_0=7,84$ г/см³, $b_0=2,8$ км/с, $c_0=5,7$ км/с, $n=0,63$, $m=2,7$, $\sigma_s=20$ кбар, а величина θ при сжатиях k , близких к σ_s , лежит в пределах $1,43 \leq \theta h \leq 1,45$. Высота слоя h берется из работы [1]. Для того чтобы слой изломался, необходимо, чтобы сила была больше $2P$, т. е.

$$(4.4) \quad U > \frac{2E_0 G}{\theta h} \frac{3\tau_s}{4\rho_0 H} \left(\frac{c_0^2 - b_0^2}{c_0^2 - 2b_0^2} \right) \frac{1}{\sin(\gamma/2)}.$$

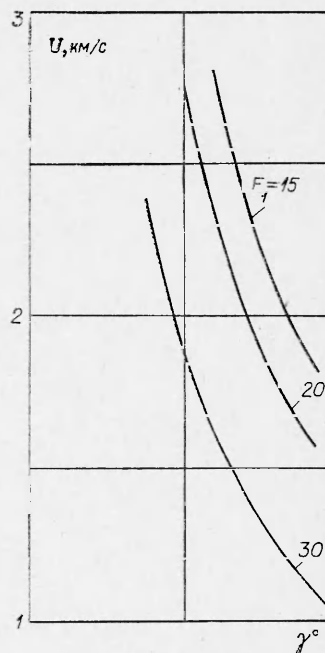
Воспользуемся (4.4) и построим на плоскости (U, γ) кривую, отделяющую область тех значений U и γ , при которых возможен излом слоя. Точки U и γ , которые лежат выше кривых, изображенных на фиг. 2, отвечают значениям скоростей точки контакта и углов соударений, при которых возможен излом слоя. Кривые построены для железа при различных значениях $E_1 = E(1-\tilde{\sigma}^2)/\tilde{E}(1-\sigma^2)$ ($\tau_s = 1$ мкс).

Автор выражает благодарность С. К. Годунову и Е. И. Роменскому за обсуждения работы.

Поступила 21 III 1978

ЛИТЕРАТУРА

1. Годунов С. К., Сергеев-Альбов Н. Н. Уравнения линейной теории упругости с точечными максвелловскими источниками релаксации напряжений. — ПМТФ, 1977, № 4.
2. Лаврентьев М. А., Шабат Б. В. Проблемы гидродинамики и их математические модели. М., «Наука», 1973.
3. Годунов С. К. Элементы механики сплошной среды. М., «Наука», 1978.



Фиг. 2